

- Р. 636. [4] Герке Р. Р., Денисюк Ю. Н., Локшин В. И. // Оптико-механическая промышленность. 1968. № 7. С. 22. [5] Назарова Л. Г. // Опт. и спектр. 1970. 34. С. 757. [6] Дрейден Г. В., Островский Ю. И., Шведова Е. Н. // Опт. и спектр. 1972. 32. С. 367. [7] Арутюнян А. Г., Ахманов С. А., Голяев Ю. Д. и др. // ЖЭТФ. 1973. 64, № 5. С. 1511. [8] Аракелян С. М., Пахалов В. Б., Чиркин А. С. // Опт. и спектр. 1976. 40, № 6. С. 1055. [9] Бергер И. К., Дерюгин И. А., Михеенко А. В. // Приб. и техн. эксперимента. 1978. № 1. С. 197. [10] Пахалов В. Б., Чиркин А. С., Юсубов Ф. М. // Квант. электроника. 1979. 6, № 1. С. 57. [11] Кузин В. А., Стаселько Д. И., Стригун В. Л. // Оптико-механическая промышленность. 1979. № 2. С. 57. [12] Алексеев В. А., Стригун В. Л., Шуленин А. В. // Журн. прикл. спектр. 1986. 45, № 1. С. 137. [13] Lagson A., Salzman J., Mittelstein M., Yariv A. // J. Appl. Phys. 1986. 60, N 1. P. 66. [14] Алексеев Э. И., Базаров Е. Н., Григорьянц В. В. и др. // Квант. электроника. 1977. 4, № 9. С. 2029. [15] Беловолов М. И., Гурьянов А. Н., Гусовский Д. Д. и др. // Там же. 1985. 12, № 9. С. 1873.

Поступила в редакцию  
25.05.88

ВЕСТН. МОСК. УН-ТА. СЕР. 3. ФИЗИКА. АСТРОНОМИЯ. 1989. Т. 30, № 4

## АКУСТИКА И МОЛЕКУЛЯРНАЯ ФИЗИКА

УДК 534.222

### КИНЕТИЧЕСКОЕ УРАВНЕНИЕ ОДНОМЕРНОЙ АКУСТИЧЕСКОЙ ТУРБУЛЕНТНОСТИ

О. В. Руденко, В. А. Хохлова

(кафедра акустики)

Получено кинетическое уравнение типа Больцмана для функции распределения параметров случайной последовательности слабых ударных волн с учетом движения разрывных фронтов и их парных соударений. Исследована эволюция спектра интенсивности ансамбля слабых ударных волн с конечной шириной фронта.

Изменение статистических свойств мощного акустического шума во многом определяется нелинейными эффектами: образованием, движением и взаимодействием ударных фронтов [1, 2]. До сих пор этот процесс не удалось описать аналитически. Мы предлагаем исследовать его, исходя из аналогии между слабыми ударными волнами и газом неупруго взаимодействующих частиц [3]. На этом пути удается получить кинетическое уравнение типа Больцмана для функции распределения параметров ансамбля слабых ударных волн. Обратимся к выводу этого уравнения, его решению и расчету некоторых средних.

Пусть поле на расстоянии  $x$  представляет собой случайную последовательность слабых ударных волн — «ступенек» (рис. 1), эволюция которой описывается уравнением Бюргерса:

$$\frac{du}{dx} - \frac{\varepsilon}{c_0^2} u \frac{du}{d\tau} = -\frac{b}{2c_0^3 \rho_0} \frac{\partial^2 u}{\partial \tau^2} \quad (1)$$

Здесь  $u$  — колебательная скорость в волне, распространяющейся вдоль оси  $x$ ;  $\tau = t - x/c_0$  — время в сопровождающей системе координат;  $c_0$  — скорость звука;  $\varepsilon$ ,  $b$  — параметры нелинейности и диссипации;  $\rho_0$  — равновесная плотность среды.

Движение каждого разрыва в «бегущей» системе координат  $(\tau, x)$  в соответствии с (1) происходит по закону

$$\frac{d\tau_i}{dx} = -\frac{\varepsilon}{2c_0^2} (u_i + u_{i+1}), \quad (2)$$

где  $\tau_i$  — время возникновения  $i$ -го ударного фронта;  $u_i$  и  $u_{i+1}$  — соответственно минимальное и максимальное значение скорости на  $i$ -м разрыве.

Если затухание мало, то ширина фронта волны много меньше, чем промежуток времени  $\Delta t$  между соседними разрывами (акустическое число Рейнольдса  $\Gamma^{-1} = \varepsilon c_0 \rho_0 m_0 \tau_0 / b \gg 1$ ), и взаимодействие фронтов происходит аналогично мгновенному, абсолютно неупругому соударению частиц [3]. Действительно, сопоставим высоте каждой «ступеньки» (рис. 1)  $(u_{i+1} - u_i)$  массу частицы  $m_i$ , а изменению ее сопровожда-

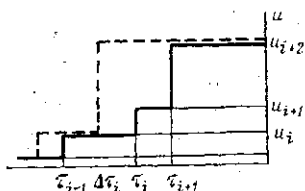


Рис. 1. Отрезок реализации процесса, состоящего из случайной последовательности слабых ударных волн на различных расстояниях  $x_1 < x_2$  (соответственно сплошная и штриховая линии)

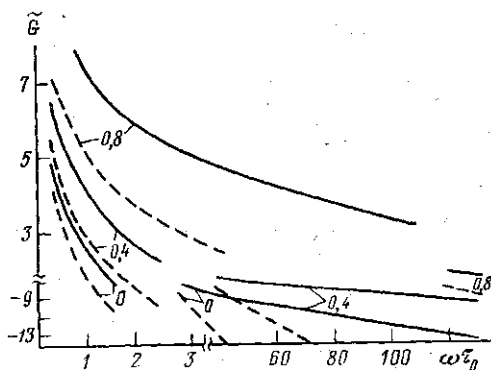


Рис. 2. Частотные зависимости спектра интенсивности в логарифмическом масштабе  $\tilde{G}(\omega\tau_0) = \ln[G(\omega)/m_0^2\tau_0]$  случайной волны (8) (сплошные линии) и регулярной по  $m$  волны  $g_0(x, m) = \delta(m - (m))$  (штриховые линии) на различных расстояниях  $x/x_p$  (цифры у кривых)

ющей координаты  $d\tau_i/dx$  — скоростью  $v_i$  этой частицы. Тогда, как видно из (2), каждый последующий  $(i+1)$ -й фронт догоняет предыдущий  $i$ -й и при их столкновении образуется новый разрыв, параметры которого удовлетворяют законам сохранения «массы» и «импульса»:

$$m'_i = m_i + m_{i+1}, \quad m'_i v'_i = m_i v_i + m_{i+1} v_{i+1}.$$

Пусть вероятность появления  $i$ -го разрыва с амплитудой  $m_i$  зависит только от промежутка времени  $\Delta t$ , прошедшего с момента возникновения предыдущего  $(i-1)$ -го. Введем функцию распределения  $g(x; \Delta t, m)$  — плотность вероятности того, что между двумя соседними разрывами прошло время  $\Delta t$  и амплитуда второго из них равна  $m$ .

Эволюция распределения  $g(x; \Delta t, m)$  происходит за счет относительного движения разрывов, поскольку скорость каждой последующей «ступеньки»  $d\tau_i/dx$  больше скорости предыдущей  $d\tau_{i-1}/dx$  на  $\varepsilon(m_i + m_{i-1})/2c_0^2$  (см. (2)) и ступеньки догоняют друг друга; при этом промежуток  $\Delta t$  между ними уменьшается, а распределение по  $m$  остается прежним. Столкновения также приводят к трансформации функ-

ции  $g(x; \Delta\tau, m)$  — образуются ступеньки большей массы. Будем считать фронты достаточно крутыми и столкновения мгновенными, что справедливо для больших чисел Рейнольдса  $\Gamma^{-1} \gg 1$ .

Выделим достаточно длинный отрезок реализации  $\tau$  случайного процесса (см. рис. 1), состоящий из  $N(x) \gg 1$  ступенек. Тогда плотность вероятности  $g(x; \Delta\tau, m)$  можно определить как отношение числа ступенек с данными параметрами  $n(x; \Delta\tau, m)$  к общему числу  $N(x)$ :  $g(x; \Delta\tau, m) = n(x; \Delta\tau, m)/N(x)$ . Будем считать, что число  $N(x)$  меняется только за счет столкновений внутри отрезка реализации; крайними эффектами, если  $N$  достаточно велико, можно пренебречь.

Найдем приращение  $n(x+\Delta x; \Delta\tau, m) = N(x+\Delta x) \cdot g(x+\Delta x; \Delta\tau, m)$ :

$$n(x+\Delta x; \Delta\tau, m) = (\mathcal{L} + I_+ - I_-)n(x; \Delta\tau, m). \quad (3)$$

Здесь  $\mathcal{L}$  — линейный оператор, характеризующий изменение  $n(x; \Delta\tau, m)$  вследствие свободного движения разрывов;  $I_+$  — интеграл столкновений, описывающий соударения, в результате которых образуются ступеньки с необходимыми параметрами  $(\Delta\tau, m)$ , происходит увеличение  $n$ ;  $I_-$  — интеграл столкновений, описывающий соударения с участием разрывов с параметрами  $(\Delta\tau, m)$ , в результате которых  $n(x; \Delta\tau, m)$  уменьшается.

Рассмотрим сначала линейную часть (3). Чтобы на расстоянии  $x+\Delta x$  получился разрыв с параметрами  $(\Delta\tau, m)$ , необходимо на расстоянии  $x$  иметь картину поля, состоящую из следующих друг за другом волн  $(\Delta\tau_1, m_1)$  и  $(\Delta\tau_2, m)$ , где  $\Delta\tau_2 = \Delta\tau + \varepsilon(m+m_1)/2c_0^2$ . Поскольку параметры соседних разрывов являются независимыми величинами, количество таких будет равно

$$N(x)g(x; \Delta\tau_1, m_1)g(x; \Delta\tau + \varepsilon(m_1+m)\Delta x/2c_0^2, m). \quad (4)$$

Величины  $\Delta\tau_1$  и  $m_1$  могут быть произвольными, поэтому просуммируем (4) по всем их возможным значениям и тогда найдем общее количество конфигураций на расстоянии  $x$ , приводящее при увеличении  $x$  на малую величину  $\Delta x$  к образованию ступеньки с параметрами  $(\Delta\tau, m)$ :

$$\widehat{L}(n) = N(x) \int_0^\infty \int_0^\infty g(x; \Delta\tau_1, m_1) g(x; \Delta\tau + \varepsilon(m_1+m)\Delta x/2c_0^2, m) dm_1 d\Delta\tau_1. \quad (5)$$

Разложим подынтегральное выражение в (5) в ряд вблизи точки  $\Delta\tau$  при  $\Delta x \rightarrow 0$  с точностью до линейных по  $\Delta x$  членов и, учитывая условие нормировки  $\int_0^\infty \int_0^\infty g(x; \Delta\tau, m) d\Delta\tau dm = 1$ , получим выражение для  $\mathcal{L}$

в виде

$$\widehat{L}(n) = N(x) \left[ g(x; \Delta\tau, m) + \frac{\varepsilon}{2c_0^2} \Delta x (m + \langle m \rangle) \frac{\partial g}{\partial \Delta\tau} \right].$$

Здесь  $\langle m \rangle = \overline{m(x)} = \int_0^\infty \int_0^\infty mg(x; \Delta\tau, m) d\Delta\tau dm$  — среднее значение высоты ступенек на расстоянии  $x$ .

Перейдем теперь к интегралу столкновений  $I_+$ . Для того чтобы на расстоянии  $x+\Delta x$  в результате столкновения двух ступенек образовался разрыв с параметрами  $(\Delta\tau, m)$ , необходимо, чтобы на расстоянии

$x$  был отрезок реализации, состоящий из трех последовательных ступенек (1, 2, 3), параметры которых удовлетворяют условиям

$$m_2 + m_3 = m, \quad 0 < m_2 < m,$$

$$\Delta\tau_2 = \Delta\tau + (\varepsilon/2c_0^2) \cdot (m_1 + m_2) \Delta x,$$

$$\Delta\tau_3 < (\varepsilon/2c_0^2) (m_2 + m_3) \Delta x,$$

$$\Delta\tau_1, m_1 \text{ — произвольные.}$$

Просуммируем количество всех возможных конфигураций:

$$\begin{aligned} \hat{I}_+ [n(x; \Delta\tau, m)] &= N(x) \int_0^\infty \int_0^\infty d\Delta\tau_1 dm_1 \times \\ &\times \int_0^m dm_2 \int_0^{\varepsilon m \Delta x / 2c_0^2} d\Delta\tau_3 g(x; \Delta\tau_1, m_1) g(x; \Delta\tau + \\ &+ \varepsilon(m_1 + m_2) \Delta x / 2c_0^2, m_2) g(x; \Delta\tau_3, m - m_2). \end{aligned} \quad (6)$$

Разложив (6) аналогично (5) в ряд по  $\Delta x$ , приходим к следующему выражению для  $I_+$  при  $\Delta x \rightarrow 0$ :

$$\hat{I}_+ [n] = N(x) \frac{\varepsilon}{2c_0^2} m \Delta x \int_0^m g(x; \Delta\tau, m_2) g(x; \Delta\tau = 0, m - m_2) dm_2.$$

Исключим теперь такие столкновения, в которых участвуют ступеньки с параметрами  $(\Delta\tau, m)$  — интеграл  $I_-$ . Следуя изложенной выше схеме, легко показать, что их количество в промежутке  $\Delta x$  будет равно

$$N(x) g(x; \Delta\tau_1, m_1) g\left(x; \Delta\tau + \frac{\varepsilon}{2c_0^2} (m + m_1) \Delta x, m\right) g(x; \Delta\tau_2, m_2),$$

где  $\Delta\tau_2 < \varepsilon(m + m_2) \Delta x / 2c_0^2$ ,  $m_2, m_1, \Delta\tau_1$  — произвольны.

Интегрируя по  $m_1, m_2, \Delta\tau_1, \Delta\tau_2$  и переходя к пределу  $\Delta x \rightarrow 0$ , имеем

$$\hat{I}_- [n] = N(x) \frac{\varepsilon}{2c_0^2} \Delta x g(x; \Delta\tau, m) \int_0^\infty (m + m_2) g(x; 0, m_2) dm_2.$$

Найденные выражения для  $L, I_+, I_-$  позволяют представить уравнение (3) в виде

$$\begin{aligned} \frac{\partial g}{\partial x} + g \frac{\partial N / \partial x}{N} &= \frac{\varepsilon}{2c_0^2} \left\{ (m + \langle m \rangle) \frac{\partial g}{\partial \Delta\tau} - g \int_0^\infty (m + m_2) \times \right. \\ &\times \left. g(x; 0, m_2) dm_2 + m \int_0^m g(x; \Delta\tau, m_2) g(x; 0, m - m_2) dm_2 \right\}. \end{aligned}$$

Величину  $(\partial N / \partial x) / N$  можно также выразить через  $g(x; \Delta\tau, m)$ . Тогда

получаем замкнутое кинетическое уравнение для функции распределения  $g(x; \Delta\tau, m)$ :

$$\frac{\partial g}{\partial x} - \frac{\varepsilon}{2c_0^2} (m + \langle m \rangle) \frac{\partial g}{\partial \Delta\tau} = \frac{\varepsilon}{2c_0^2} \left\{ m \int_0^m g(x; \Delta\tau, m_2) \times \right. \\ \left. \times g(x; 0, m - m_2) dm_2 - (m - \langle m \rangle) g \int_0^\infty g(x; 0, m_2) dm_2 \right\} \quad (7)$$

Рассмотрим здесь одно точное решение (7), отвечающее входному пуассоновскому процессу:

$$g(x; \Delta\tau, m) = \frac{1}{\tau_0} e^{-\frac{x}{\tau_0}} \frac{1}{m_0} \sqrt{\frac{x_p}{x} \frac{m_0}{m}} \times \\ \times \exp \left[ -\frac{m}{m_0} \left( 1 + \frac{x}{x_p} \right) \right] I_1 \left( 2 \frac{m}{m_0} \sqrt{\frac{x}{x_p}} \right) = g(\tau) \cdot g_0(x, m). \quad (8)$$

Здесь  $x_p = c_0^2 \tau_0 / \varepsilon m_0$  — среднее расстояние, на котором «схлопывается» реализация случайного процесса (8);  $I_1$  — функция Бесселя мнимого аргумента.

Используя (8), проанализируем эволюцию спектра интенсивности случайной последовательности стационарных ударных волн — решений уравнения Бюргерса вида

$$u_i = u_{0i} + \frac{m_i}{2} \operatorname{th} \left( \frac{\varepsilon c_0 \rho_0}{2b} m_i (\tau - \tau_i) \right). \quad (9)$$

Здесь  $\tau_i, m_i$  — момент возникновения и высота  $i$ -го ударного фронта;  $u_{0i}$  — скорость его движения в сопровождающей системе координат. Если число Рейнольдса  $\Gamma^{-1} \gg 1$ , ширина фронтов мала по сравнению с расстоянием между ними, из последовательности ступенек (9) можно сформировать реализацию по типу изображенной на рис. 1 и ее эволюция будет происходить по тем же законам.

Усредняя обычным образом фурье-образ (9) с помощью распределения (8), приходим к выражению для спектра интенсивности в области  $\omega \neq 0$ :

$$G(\omega) = 2\pi^3 m_0^2 \tau_0 \Gamma^2 \int_0^\infty \frac{g_0(x, m) dm}{\operatorname{sh}^2 \left( \pi \omega \tau_0 \frac{m_0}{m} \Gamma \right)}. \quad (10)$$

Рассмотрим изменение формы спектра интенсивности (10) с расстоянием в случаях регулярного распределения ступенек по высоте  $g_0(x, m) = \delta(m - \langle m \rangle)$  и экспоненциального (8). Анализ выражения (10) показывает, что в спектре  $G(\omega)$  можно выделить два характерных участка. При  $\omega \ll \Omega_* = (\pi \tau_0 \Gamma m_0 / \langle m \rangle)^{-1}$  спектральная плотность  $G(\omega) \sim \omega^{-2}$  и не зависит от  $\Gamma$  как для регулярной, так и для случайной волны (рис. 2) — низкочастотная (НЧ) асимптотика. Эта зависимость является универсальной и характеризует присутствие крутых участков фронта в реализации процесса.

При высоких частотах  $\omega \gg \Omega_*$  (высокочастотная (ВЧ) асимптотика) поведение спектра регулярной и случайной волн имеет существенные

отличия. В первом случае  $G(\omega) \sim \Gamma^2 \exp(-2\pi\omega\tau_0\Gamma)$  — убывает по экспоненциальному закону, во втором

$$G(\omega) \approx 4\pi^3 m_0^2 \tau_0 \left(\frac{x_p}{x}\right)^{3/4} \Gamma^2 (2\pi\omega\Gamma\tau_0)^{-1/2} \exp[-2\sqrt{2\pi\omega\Gamma\tau_0}(1-\sqrt{x/x_p})] -$$

убывает пропорционально  $\sim \Gamma^2 \exp(-\gamma\sqrt{\omega})/\sqrt{\omega}$ . Более медленное уменьшение  $G(\omega)$  при  $\omega \rightarrow \infty$  для случайных волн объясняется влиянием разрывов большой амплитуды, спектр которых убывает вплоть до очень высоких частот.

Из рис. 2 видно, как с увеличением пройденного волной расстояния  $x/x_p$  происходит увеличение значения спектральной плотности, более медленный ее спад с ростом частоты. НЧ- и ВЧ-асимптотики определялись соответственно в диапазонах  $\omega < 0,25\Omega_*$ ,  $\Omega_* = (\pi\Gamma\tau_0(1-x/x_p))^{-1}$  и  $\omega > 4\Omega_*$  и построены в различных масштабах. Полагалось  $\Gamma = 0,05$ , среднее  $\langle m \rangle$  в регулярной волне выбиралось равным среднему значению амплитуды перепада в случайной последовательности (8)  $\langle m \rangle = m_0/(1-x/x_p)$ . В результате слияния разрывов высота ступенек увеличивается и, как следует из (9), фронты становятся более крутыми, спектр убывает медленнее. Происходит также увеличение характерной частоты  $\Omega_*$ , разделяющей ВЧ- и НЧ-асимптотики, соответственно на рис. 2 мы сдвигали кривые вправо, так как область зависимости  $G(\omega) \sim \omega^{-2}$  смещается в сторону более высоких частот.

#### СПИСОК ЛИТЕРАТУРЫ

- [1] Руденко О. В. // УФН. 1986. 149, № 3. С. 413. [2] Гурбатов С. Н., Санчев А. И., Якушкин И. Г. // УФН. 1983. 141, № 3. С. 221. [3] Калоджеро Ф., Дегасперис А. Спектральные преобразования и солитоны. Методы решения и исследования нелинейных эволюционных уравнений. М., 1985.

Поступила в редакцию  
21.04.88

ВЕСТН. МОСК. УН-ТА. СЕР. 3, ФИЗИКА. АСТРОНОМИЯ. 1989. Т. 30, № 4

## ФИЗИКА ТВЕРДОГО ТЕЛА

УДК 548.4

### РАСПРЕДЕЛЕНИЕ ТЕМПЕРАТУРЫ НА ПОВЕРХНОСТИ ДЕФОРМИРУЕМЫХ УЛЬТРАЗВУКОМ КРИСТАЛЛОВ ХЛОРИСТОГО НАТРИЯ ПО ДАННЫМ ТЕПЛОВИДЕНИЯ

Г. М. Зиненкова, Е. В. Пала, Н. А. Тяпунина, Н. П. Новиков,  
Ю. В. Жаркой

(кафедра молекулярной физики и физических измерений)

Проведено исследование *in situ* распределения температуры на поверхности образцов, деформируемых ультразвуком. Показано, что в обычных условиях область вблизи пучности напряжений нагревается не более чем на 10 К по отношению к комнатной температуре.

Известно, что под действием ультразвука может происходить пластическая деформация, которая сопровождается потерями механической энергии, приводящими к нагреванию образца. Поскольку с повышением температуры изменяются пластические свойства материалов, для